

Capítulo 8. Anexos

PARA LED A 3.3 V:

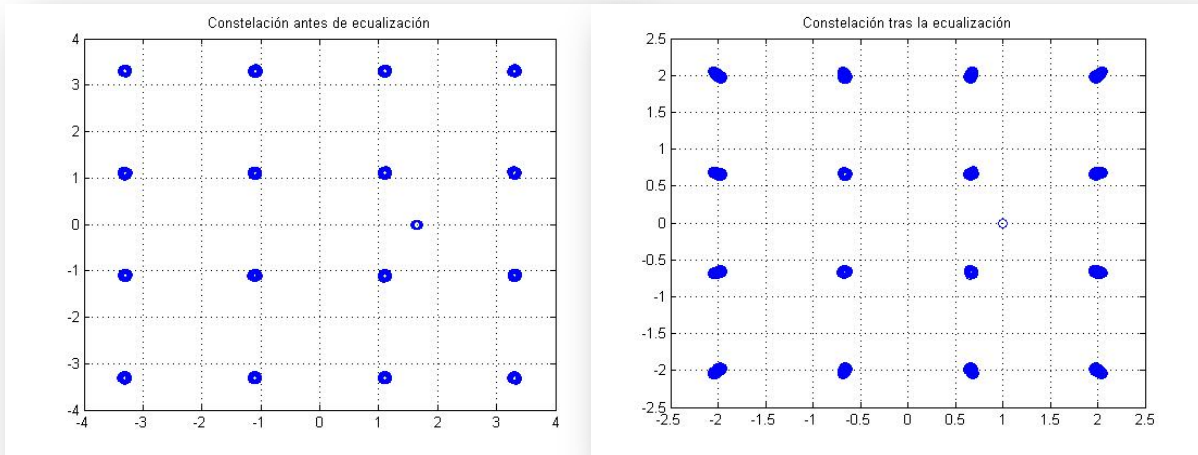


Figura 8.1 16-QAM. (a) Constelación antes de la equalización. (b) Constelación tras la equalización.

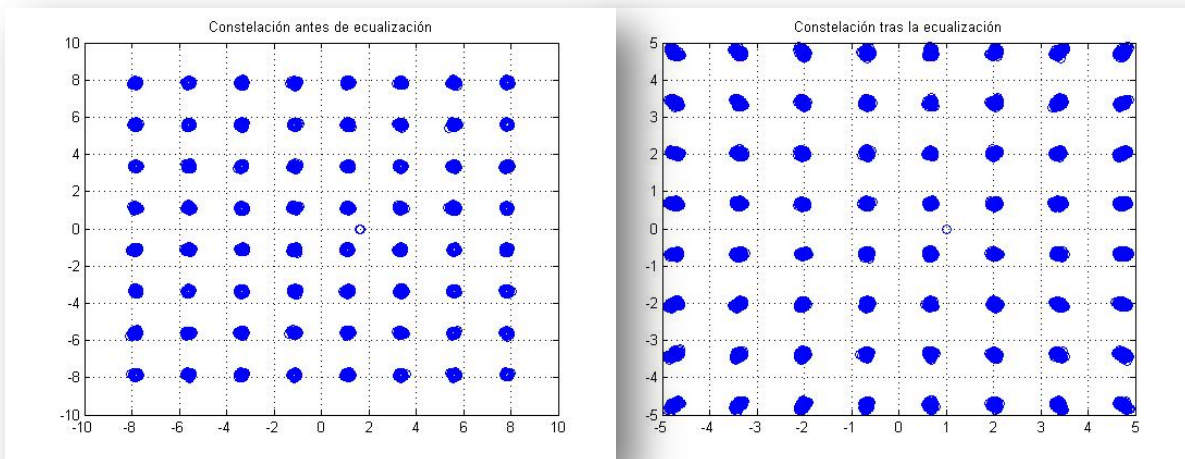


Figura 8.2 64-QAM. (a) Constelación antes de la equalización. (b) Constelación tras la equalización.

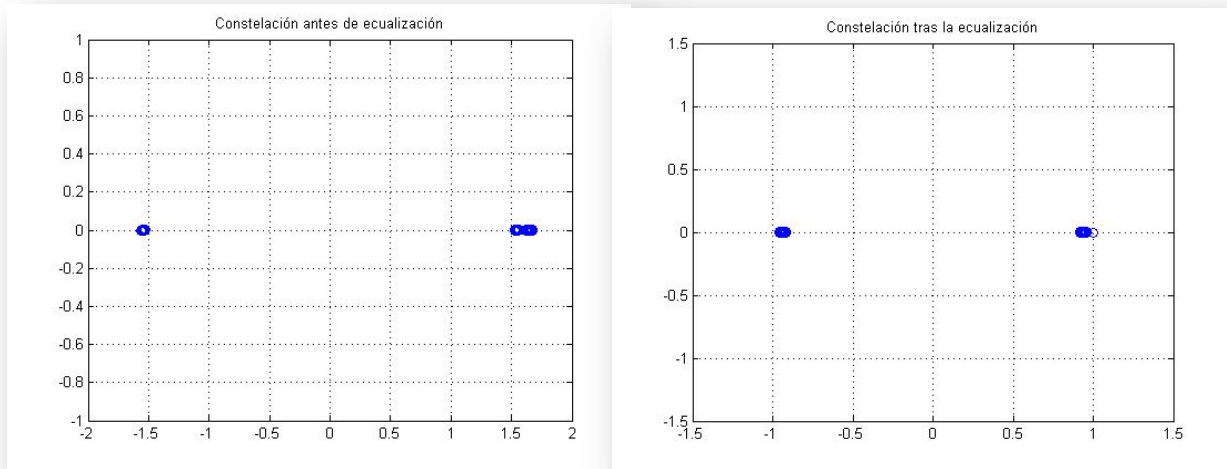


Figura 8.3 BPSK. (a) Constelación antes de la ecualización. (b) Constelación tras la ecualización.

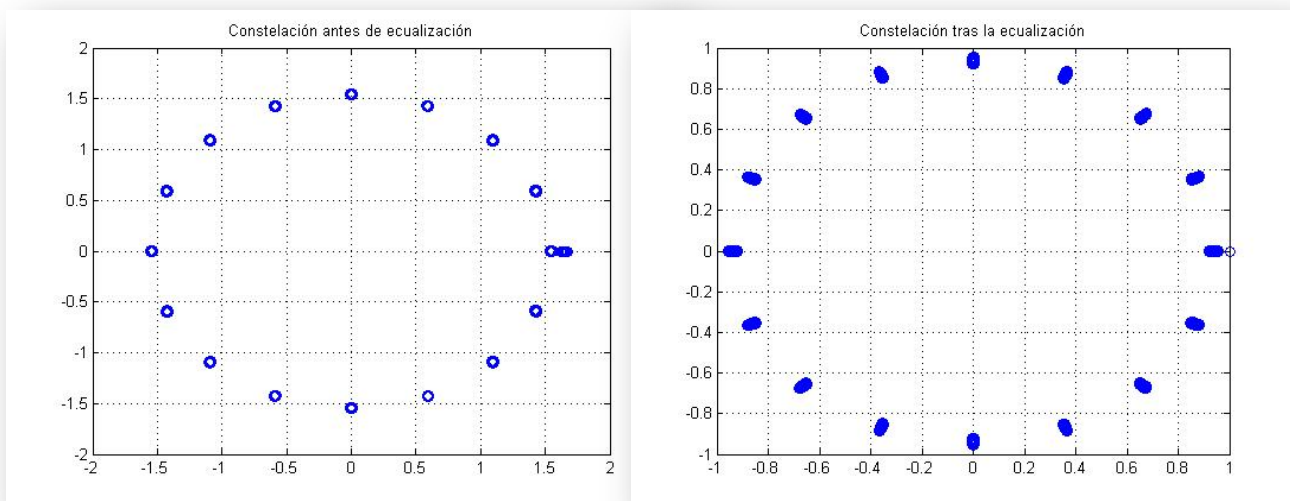


Figura 8.4 16-PSK (a) Constelación antes de la ecualización. (b) Constelación tras la ecualización.

PARA LED A 4.6 V:

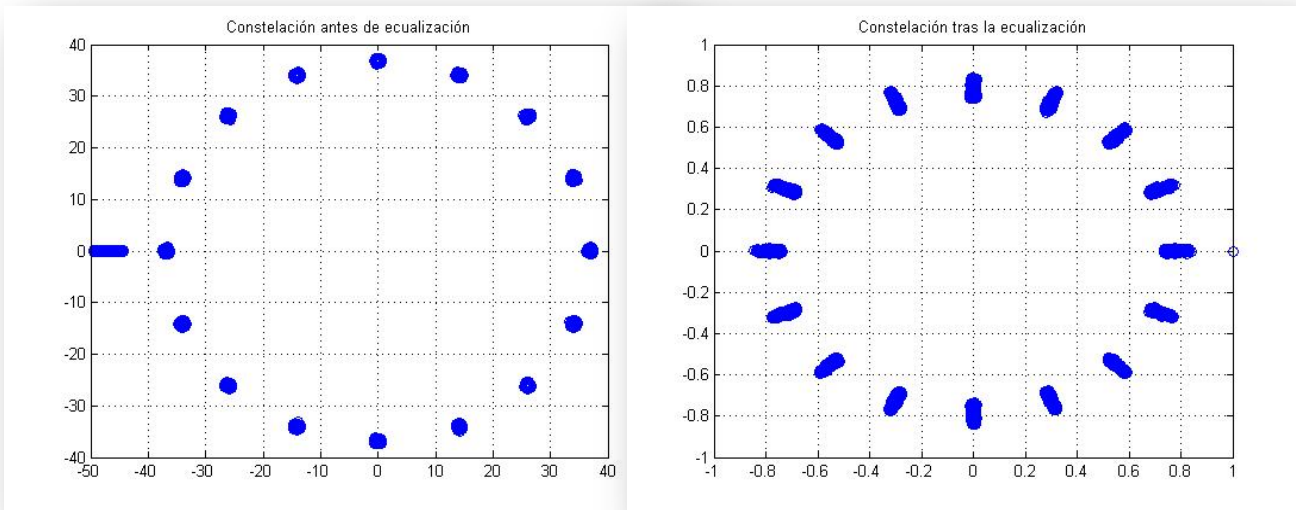


Figura 8.5 16-PSK (a) Constelación antes de la ecualización. (b) Constelación tras la ecualización.

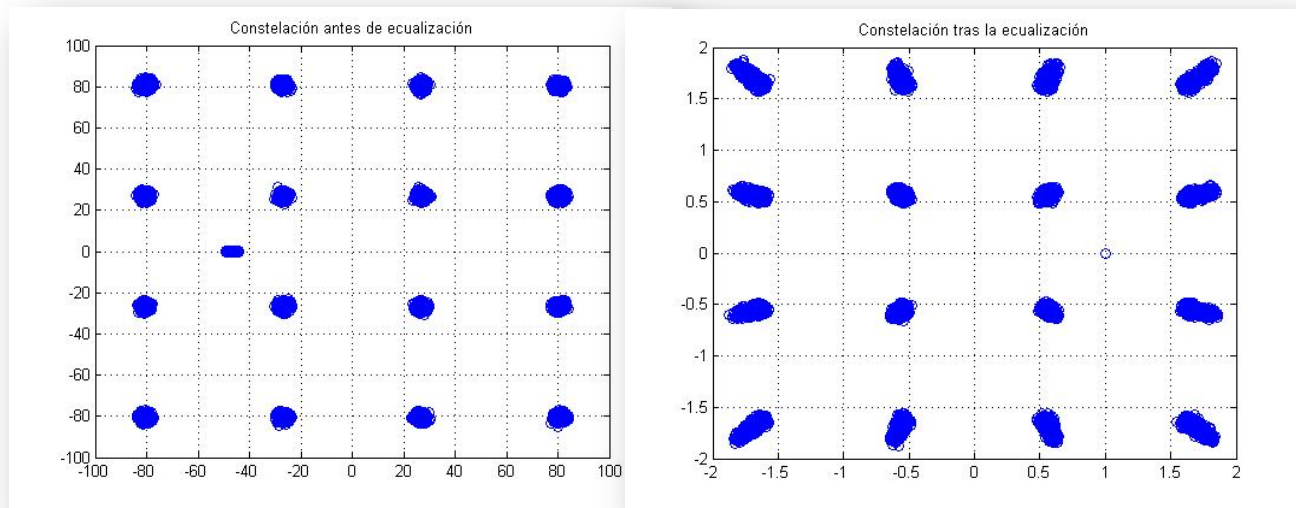


Figura 8.6 16-QAM (a) Constelación antes de la ecualización. (b) Constelación tras la ecualización.

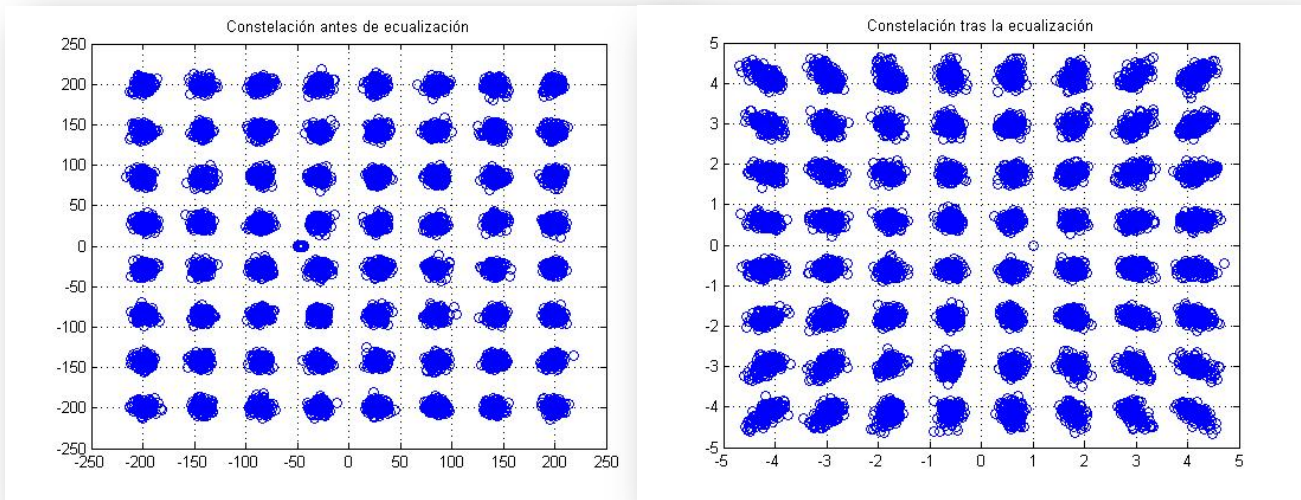


Figura 8.7 64-QAM (a) Constelación antes de la ecualización. (b) Constelación tras la ecualización.

CONSTELACIONES CON RUIDO AWGN:

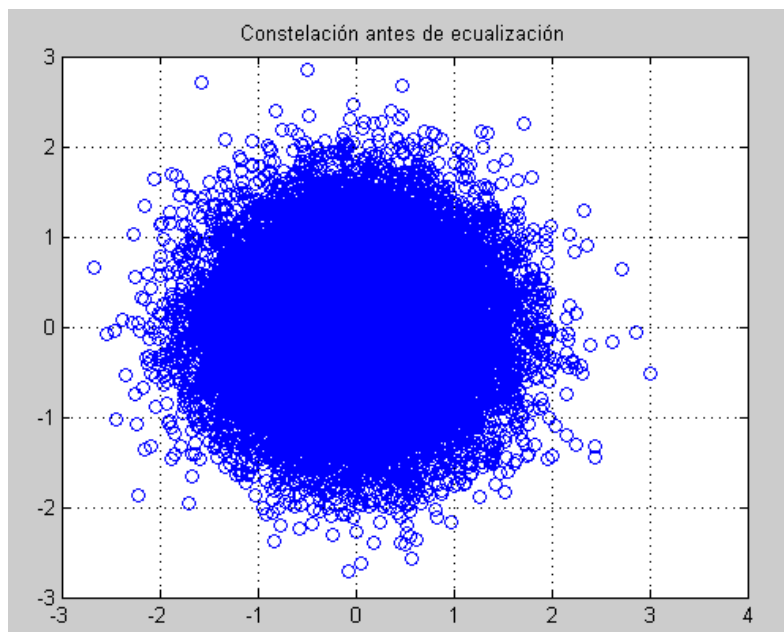


Figura 8.8 4-QAM con AWGN cuando la SNR es pequeña

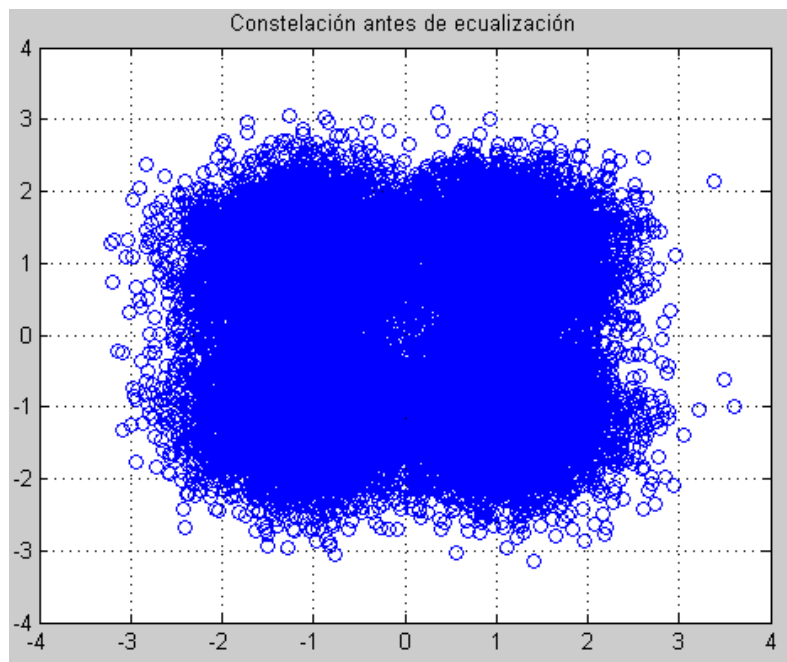


Figura 8.9 4-QAM con AWGN cuando la SNR es media

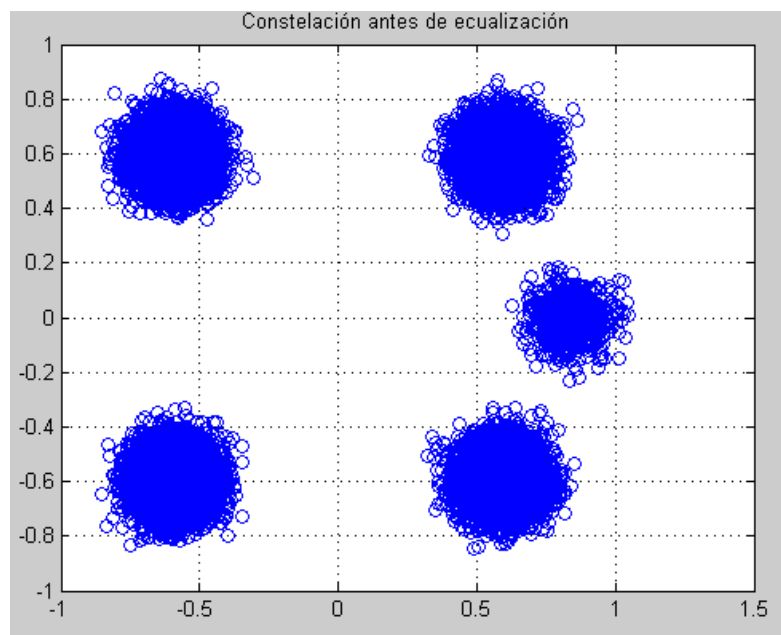


Figura 8.10 4-QAM con AWGN cuando la SNR es alta

CONSTELACIONES CON CANAL RAYLEIGH:

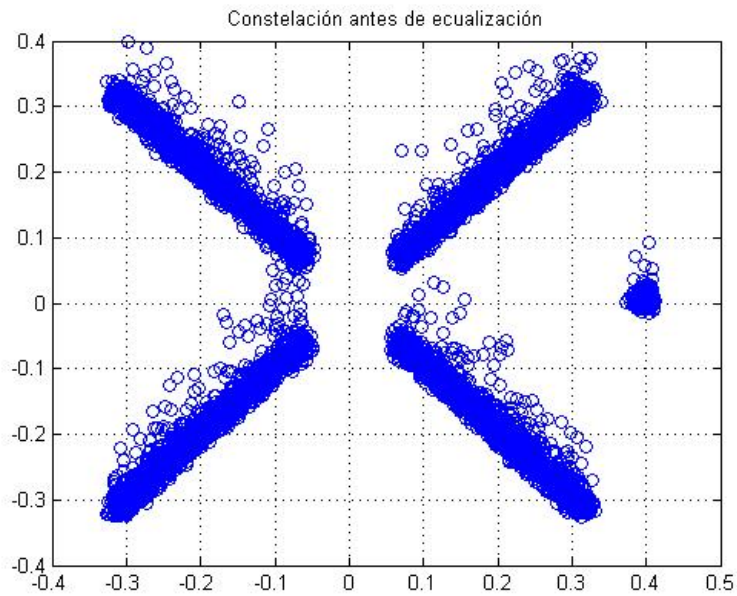


Figura 8.11 4-QAM con canal RAYLEIGH y efecto doppler

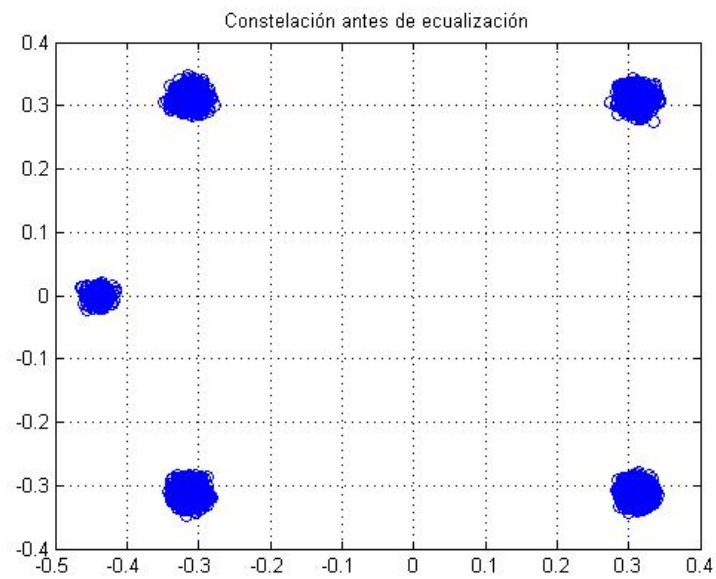


Figura 8.12 4-QAM con canal RAYLEIGH y sin efecto doppler

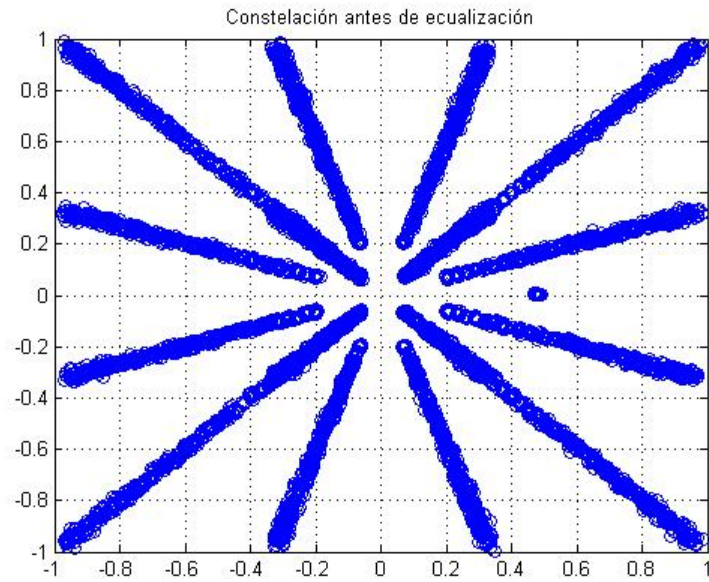


Figura 8.13 16-QAM con canal RAYLEIGH y efecto doppler

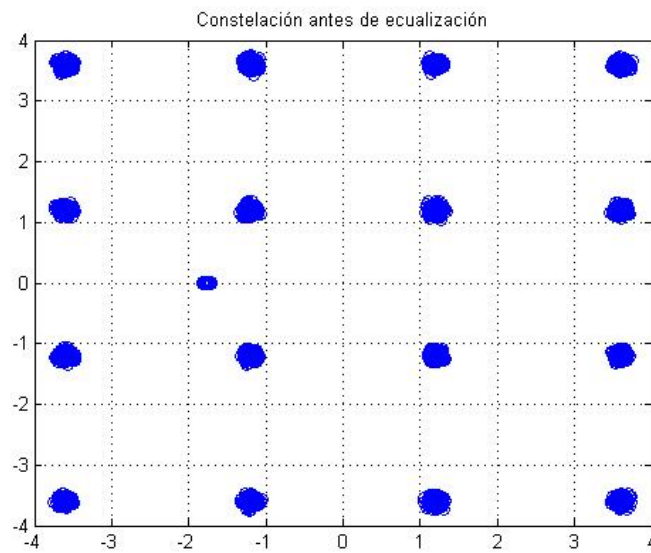


Figura 8.14 16-QAM con canal RAYLEIGH y sin efecto doppler

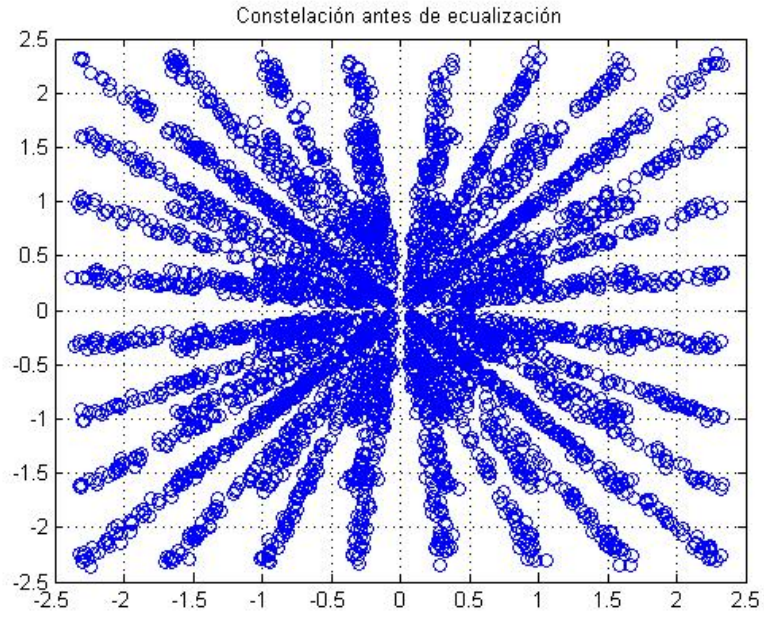


Figura 8.15 64-QAM con canal RAYLEIGH y efecto doppler

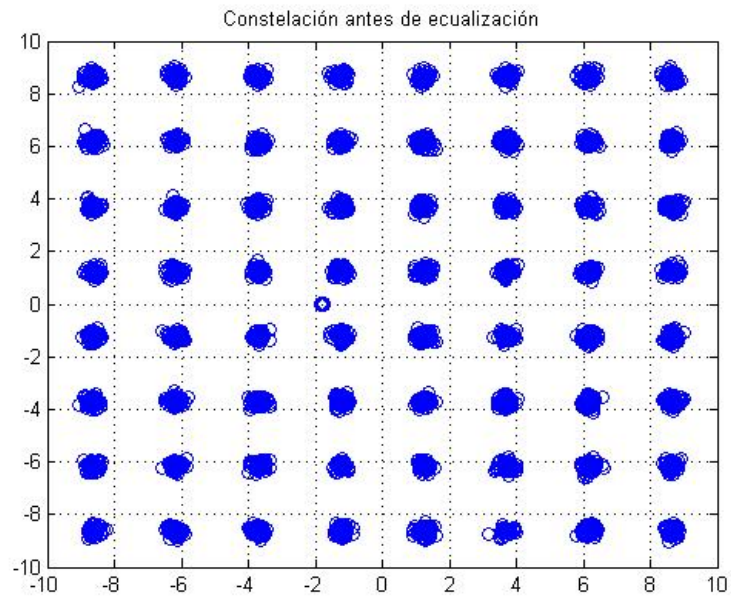


Figura 8.16 64-QAM con canal RAYLEIGH y sin efecto doppler

SISTEMA ACO-OFDM:

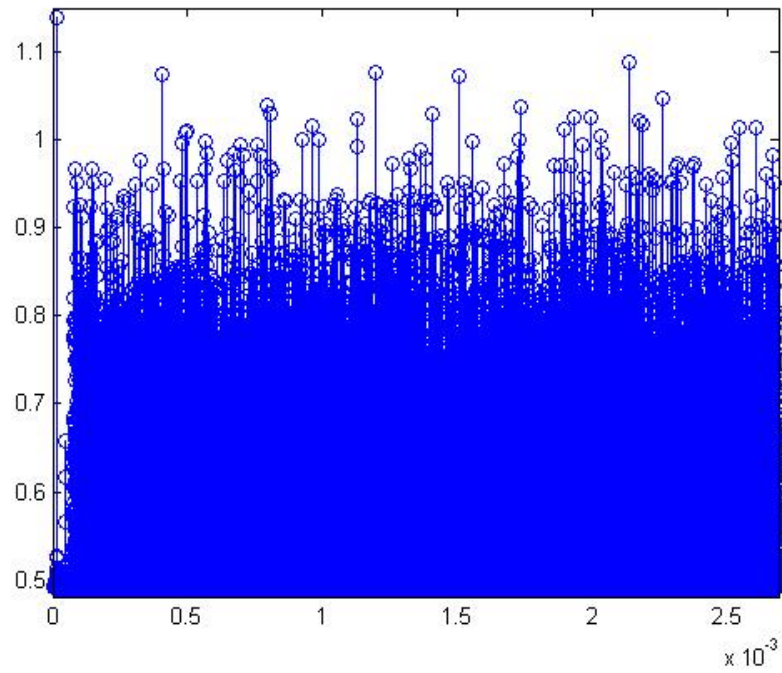


Figura 8.17 Señal de salida del transmisor ACO-OFDM en el dominio del tiempo (discreta)

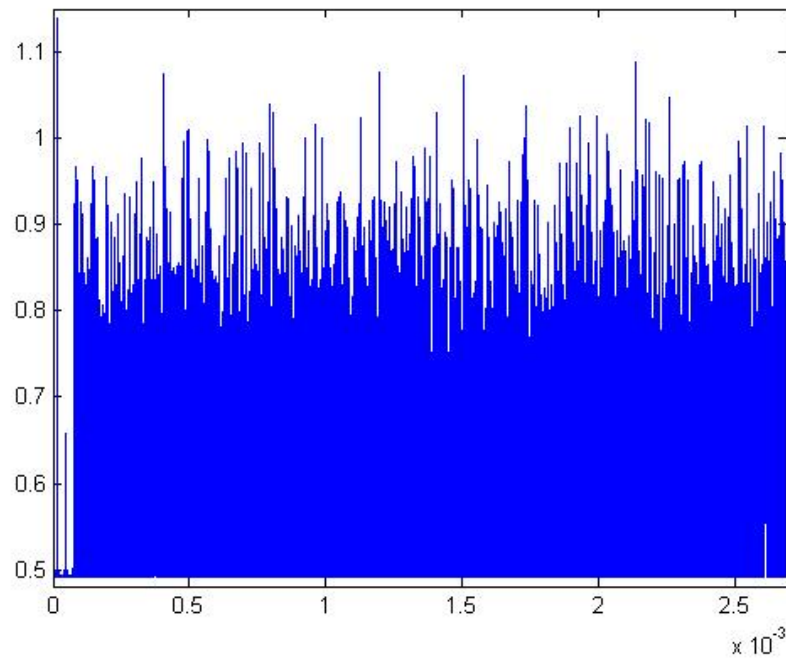


Figura 8.18 Señal de salida del transmisor ACO-OFDM en el dominio del tiempo

VISUALIZADORES OPTISYSTEM:

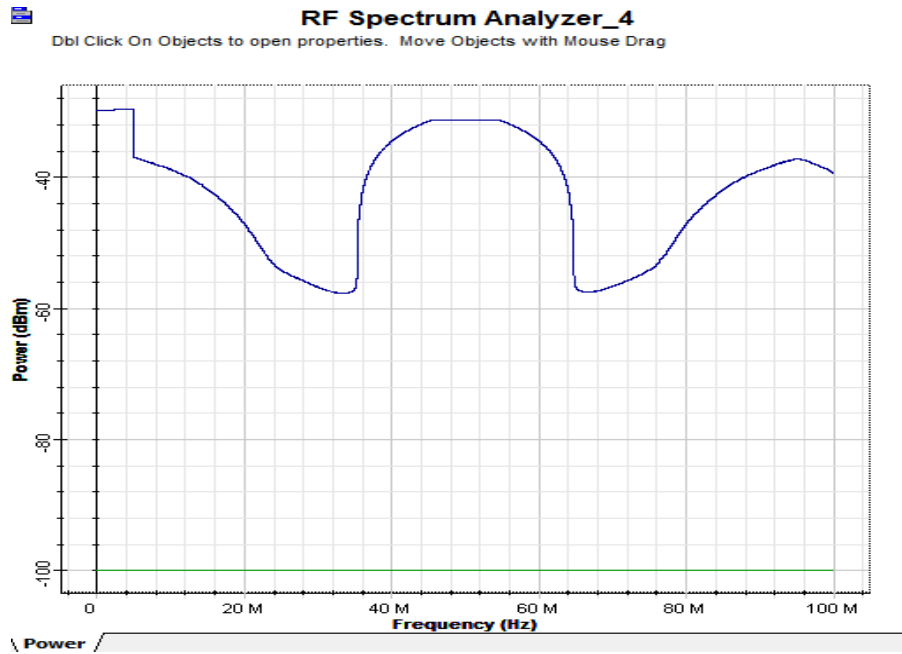


Figura 8.19 Espectro ACO-OFDM a la entrada en el sistema óptico

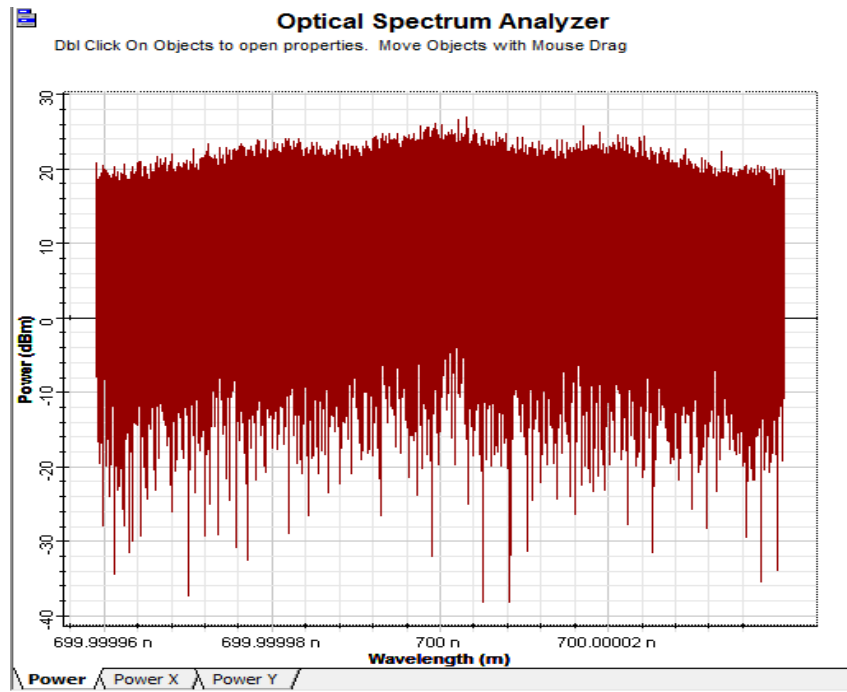


Figura 8.20 Espectro óptico a la salida del láser



Figura 8.21 Visualizador de potencia óptica

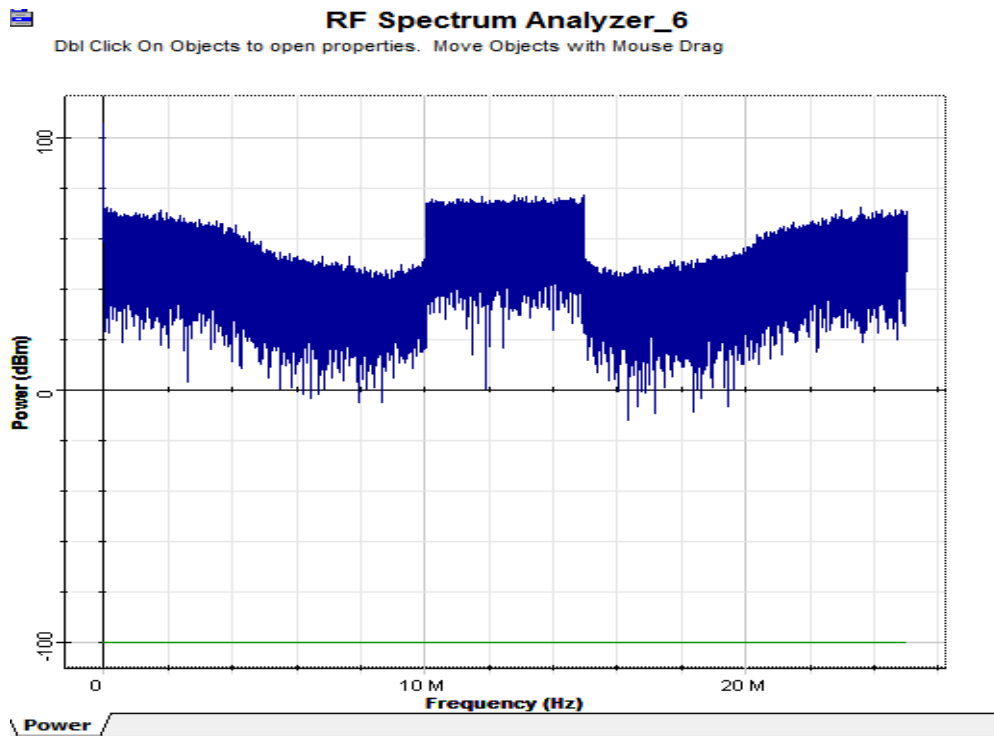


Figura 8.22 Espectro a la salida del receptor óptico

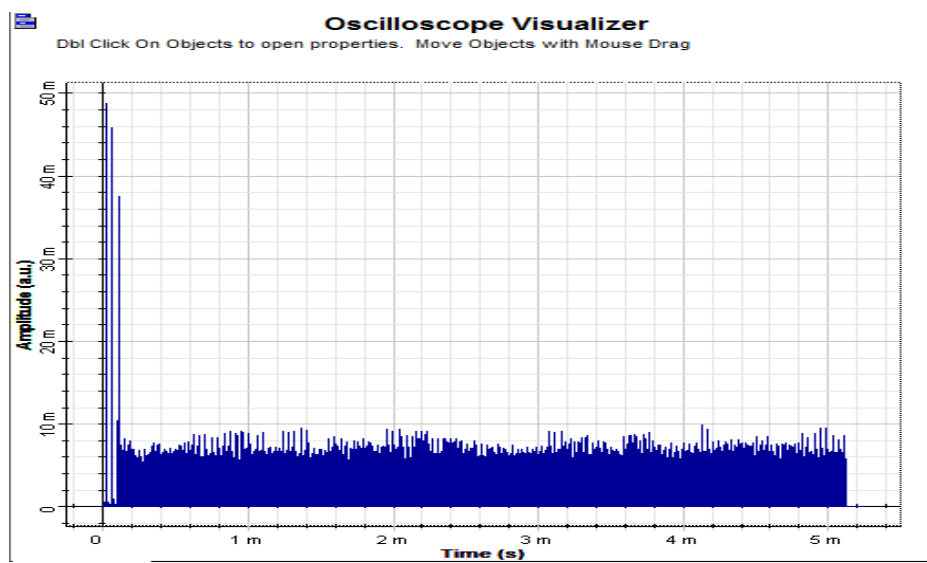


Figura 8.23 Señal temporal a la salida del receptor óptico